

不完全定義多出力論理関数を表現する BDD とその応用について (041124)

松浦 宗寛[†] 笹尾 勤[†]

[†]九州工業大学情報工学部電子情報工学科 〒 820-8502 福岡県飯塚市大字川津 680-4

あらまし 多出力論理関数を表現する二分決定グラフ (Binary Decision Diagram: BDD) の一つに, 特性関数 (Characteristic Function) を表現する BDD(BDD_for_CF) がある. 本稿では, 不完全定義多出力論理関数を BDD_for_CF で表現する方法を提案する. 次に, 不完全定義多出力論理関数を表現する BDD_for_CF の幅を小さくする方法について述べる. 最後に, この手法を基数変換回路, 加算回路, 乗算回路, および剰余数変換回路に適用した際の実験結果について述べる. この手法は関数分解や LUT カスケードの合成に有用である.

キーワード 不完全定義関数, 多出力論理関数, 特性関数, 二分決定グラフ, 関数分解

BDD Representation for Incompletely Specified Multiple-Output Logic Functions and Its Applications

Munehiro MATSUURA[†] and Tsutomu SASAO[†]

[†] Department of Computer Science and Electronics, Kyushu Institute of Technology
680-4, Kawazu, Iizuka, Fukuoka, 820-8502 Japan

Abstract A multiple-output function can be represented by a binary decision diagram (BDD) for characteristic function (CF). This paper considers a method to represent multiple-output incompletely specified functions using BDD for CF. An algorithm to reduce the widths of BDD_for_CFs is presented. This method is useful for functional decomposition and synthesis of LUT cascade.

Key words Incompletely specified function, Multiple-output function, Characteristic function, Binary decision diagram, Functional decomposition

1. はじめに

単一出力の不完全定義論理関数を二分決定グラフ (Binary Decision Diagram: BDD) で表現する方法は種々存在する [8]. このうち,

(1) 関数値として, 0, 1 の他にドント・ケアを持つ三値関数として表現する方法 [8].

(2) 三値を表現するために二つの BDD を用いる方法 [4].

(3) ドント・ケアを表現するための変数を使用する方法 [3], [8].

等が使用されている. これらの方法を用いることで, 不完全定義多出力論理関数を共有二分決定グラフ (Shared Binary Decision Diagram: SBDD) として表現可能である.

今までのほとんどの研究は BDD の総節点数の最小化を目的としていた [3], [6], [10], [11]. しかしながら, これらの手法は多出力関数の効果的な関数分解を検出するには適していない. BDD を用いて関数分解を行う場合, BDD の幅を小さくすることが重要になる. BDD を用いて多出力論理関数を効率的に分解したい場合, 多端子二分決定グラフ MTBDD (Multi terminal

BDD) や多出力関数の特性関数 (Characteristic function) を表現する BDD(BDD_for_CF) を用いる必要がある.

BDD_for_CF では, MTBDD に比べて, 少ない節点数で関数を表現できる場合が多い. ただし, 出力を表す変数をその出力に影響を与える変数より終端側に配置する必要がある. また, BDD_for_CF では入力変数の一部のみで特定の出力関数の値が定まる場合, MTBDD よりも幅を小さくできる可能性がある.

本稿では, BDD_for_CF を用いて不完全定義多出力論理関数を表現する方法と, BDD_for_CF の幅を削減する方法について述べる.

2. 諸定義ならびに基本的性質

[定義 1] 関数 f が変数 x に依存するとき, x を f のサポート変数という.

[定義 2] 不完全定義関数を $f: \{0, 1\}^n \rightarrow \{0, 1, d\}$ とする. ここで, d はドント・ケアを表し, 関数値が 0 でも 1 でも良いことを示す. また, 集合 $f^{-1}(0)$, $f^{-1}(1)$, $f^{-1}(d)$ を表す関数をそれぞれ $f_{.0}$, $f_{.1}$, $f_{.d}$ とする. 明らかに, $f_{.0} \vee f_{.1} \vee f_{.d} = 1$, $f_{.0} \cdot f_{.1} = 0$, $f_{.1} \cdot f_{.d} = 0$, $f_{.0} \cdot f_{.d} = 0$ である.

[定義3] [2] 入力変数を $X = (x_1, x_2, \dots, x_n)$, 多出力関数を $F = (f_1(X), f_2(X), \dots, f_m(X))$ とする. 完全定義多出力関数の特性関数を

$$\chi(X, Y) = \bigwedge_{i=1}^m (y_i \equiv f_i(X))$$

とする. ここで y_i は出力を表す変数である.

完全定義多出力関数の特性関数は入力の組合せと出力の組合せのうち, 許されているものを表す. $f_{i,0}(X) = \bar{f}_i(X)$, $f_{i,1}(X) = f_i(X)$ とすると, 特性関数 χ は次のように表現できる.

$$\chi(X, Y) = \bigwedge_{i=1}^m \{ \bar{y}_i \cdot f_{i,0}(X) \vee y_i \cdot f_{i,1}(X) \}.$$

不完全定義関数では関数値がドント・ケアの場合, その関数値は0でも1でもよい. 従って, 特性関数では, 出力変数 y_i の値が0でも1でも真となる. ドント・ケアを表現する関数を $f_{i,d}(X)$ とすると,

$$\bar{y}_i (f_{i,0} \vee f_{i,d}) \vee y_i (f_{i,1} \vee f_{i,d}) = \bar{y}_i f_{i,0} \vee y_i f_{i,1} \vee f_{i,d}$$

が成立する. これより次の定義を得る.

[定義4] 不完全定義多出力関数の特性関数 χ を

$$\chi(X, Y) = \bigwedge_{i=1}^m \{ \bar{y}_i f_{i,0}(X) \vee y_i f_{i,1}(X) \vee f_{i,d}(X) \}$$

とする.

[例1] 表1に示す4入力2出力の不完全定義関数を考える.

$$\begin{aligned} f_{1,0} &= \bar{x}_1 \bar{x}_2 x_3 \vee x_1 \bar{x}_2 \bar{x}_3 \\ f_{1,1} &= \bar{x}_1 x_2 x_3 \vee x_1 \bar{x}_2 x_3 \vee x_1 x_2 \bar{x}_3 \\ f_{1,d} &= \bar{x}_1 \bar{x}_3 \vee x_1 x_2 x_3 \\ f_{2,0} &= \bar{x}_1 \bar{x}_2 x_3 \vee x_1 \bar{x}_2 x_3 \vee x_1 x_2 \bar{x}_4 \\ f_{2,1} &= \bar{x}_2 \bar{x}_3 \vee x_2 x_3 x_4 \\ f_{2,d} &= x_2 \bar{x}_3 \end{aligned}$$

なので, この関数の特性関数は

$$\begin{aligned} \chi &= \{ \bar{y}_1 (\bar{x}_1 \bar{x}_2 x_3 \vee x_1 \bar{x}_2 \bar{x}_3) \vee \\ &\quad y_1 (\bar{x}_1 x_2 x_3 \vee x_1 \bar{x}_2 x_3 \vee x_1 x_2 \bar{x}_3) \vee (\bar{x}_1 \bar{x}_3 \vee x_1 x_2 x_3) \} \cdot \\ &\quad \{ \bar{y}_2 (\bar{x}_1 \bar{x}_2 x_3 \vee x_1 \bar{x}_2 x_3 \vee x_1 x_2 \bar{x}_4) \vee \\ &\quad y_2 (\bar{x}_2 \bar{x}_3 \vee x_2 x_3 x_4) \vee (x_2 \bar{x}_3) \} \end{aligned}$$

となる.

(例終り)

次に, 不完全定義多出力関数の特性関数を表現するBDDとその構造について述べる.

[定義5] 多出力関数 $F = (f_1, f_2, \dots, f_m)$ のBDD_for_CFとは, F の特性関数 χ を表現するBDDである. 但し, BDDで根節点を最上位としたとき, 出力 f_i を表現する変数 y_i は, f_i のサポート変数の下に置く.

表1 不完全定義関数の真理値表

| x_1 | x_2 | x_3 | x_4 | f_1 | f_2 |
|-------|-------|-------|-------|-------|-------|
| 0 | 0 | 0 | 0 | d | 1 |
| 0 | 0 | 0 | 1 | d | 1 |
| 0 | 0 | 1 | 0 | 0 | 0 |
| 0 | 0 | 1 | 1 | 0 | 0 |
| 0 | 1 | 0 | 0 | d | d |
| 0 | 1 | 0 | 1 | d | d |
| 0 | 1 | 1 | 0 | 1 | 0 |
| 0 | 1 | 1 | 1 | 1 | 1 |
| 1 | 0 | 0 | 0 | 0 | 1 |
| 1 | 0 | 0 | 1 | 0 | 1 |
| 1 | 0 | 1 | 0 | 1 | 0 |
| 1 | 0 | 1 | 1 | 1 | 0 |
| 1 | 1 | 0 | 0 | 1 | d |
| 1 | 1 | 0 | 1 | 1 | d |
| 1 | 1 | 1 | 0 | d | 0 |
| 1 | 1 | 1 | 1 | d | 1 |

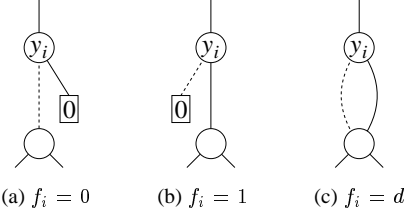


図1 不完全定義関数を表現するBDD_for_CF

図1に不完全定義多出力関数を表現するBDD_for_CFの概念図を示す. ここで, 実線は1枝を破線は0枝を表す. 出力を表現する節点 y_i の1枝が定数0節点に接続しているとき, $f_i = 0$ となる(図1(a)). また, 節点 y_i の0枝が定数0節点に接続しているとき, $f_i = 1$ となる(図1(b)). さらに, 節点 y_i の0枝と1枝の両方が同じ定数0以外の節点に接続しているとき, $f_i = d$ (ドント・ケア)となる(図1(c)). $f_i = d$ の場合 y_i の節点は冗長なので, BDDの簡単化の際削除する.

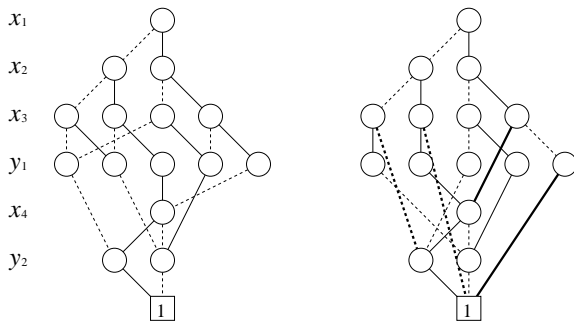
完全定義関数を表現するBDD_for_CFの場合, 根節点から定数1の終端節点への全ての経路上に必ず全ての出力変数の節点が現れ, 出力変数のどちらか一方の枝は必ず定数0の終端節点に接続されている. 一方, 不完全定義関数を表現するBDD_for_CFの場合は, 根節点から定数1の終端節点への経路上に現れない出力変数の節点もあり得る. 出力変数の節点が存在しない経路に対しては, その出力はドント・ケアとなる.

[例2] 例1の関数を表現するBDD_for_CFを図2に示す. 図2では簡単のために, 定数0の終端節点とそれに接続する枝は省いている. 図2(a)は全てのドント・ケアに0を割り当てた完全定義関数を表現するBDD_for_CFで, 図2(b)は不完全定義関数を表現するBDD_for_CFである. 太線の枝は出力変数の節点が無く, その出力値がドント・ケアであることを意味する. 図2(a)では, 根節点から終端節点までの全ての経路に全ての出力変数 $\{y_1, y_2\}$ が現れるが, 図2(b)の場合は, 出力 f_i がドント・ケアの場合, その経路に出力変数 y_i は現れない. (例終り)

3. BDD_for_CFの幅の削減

3.1 BDD_for_CFを用いた関数分解

特性関数を表現するBDD_for_CFを用いると, 多出力論理関数を効率的に分解できる[9]. BDDを用いて関数分解を行う場



(a) 全てのドント・ケアに 0 を割り当てた関数の BDD_for_CF (b) 不完全定義関数の BDD_for_CF
 図 2 多出力関数を表現する BDD_for_CF

表 2 不完全定義関数の分解表

| | | $X_1 = \{x_1, x_2\}$ | | | |
|----------------------|----|----------------------|----------|----------|----------|
| | | 00 | 01 | 10 | 11 |
| $X_2 = \{x_3, x_4\}$ | 00 | 0 | 0 | d | 1 |
| | 01 | 1 | 1 | d | d |
| | 10 | d | 1 | 0 | d |
| | 11 | 0 | d | 0 | 0 |
| | | Φ_1 | Φ_2 | Φ_3 | Φ_4 |

合, BDD の幅が小さいほど分解後の回路も小さくなる. 不完全定義関数の場合, ドント・ケア割り当てを工夫することによって, BDD_for_CF の幅を減らせる場合がある. ここでは, 不完全定義関数を表現する BDD_for_CF の幅を削減する方法を考える.

[定義 6] $(z_{n+m}, z_{n+m-1}, \dots, z_1)$ を BDD の変数順序とする. ここで, z_{n+m} は, 根節点に対応する. BDD_for_CF の高さ k での幅とは, 変数 z_k と z_{k+1} の間の枝の本数をいう. ここで, 同じ節점에接続している枝は一本と数える. BDD_for_CF の高さ 0 での幅を 1 と定義する.

[定義 7] 論理関数 $f(X)$ において, 変数の分割 (X_1, X_2) に対して, $2^{|X_1|}$ 行 $2^{|X_2|}$ 列の表で, 各行, 各列に 2 進符号のラベルを持ち, その要素が f の対応する真値であるような表を分解表という. ここで, $|X|$ は集合 X の要素数である. また, 分解表において, 異なる列パターンを列複雑度といい, 記号 μ で表す. 列パターンが表す関数を列関数と呼ぶ.

[例 3] 表 2 に 4 入力 1 出力不完全定義関数の分解表を示す. 全ての列パターンが異なるので列複雑度 μ は 4 となる. (例終り)

BDD を用いた関数分解において, BDD の幅は列複雑度 μ に等しい. 変数の分割 (X_1, X_2) において, 変数 X_1 の節점에直接接続されている変数 X_2 の節点は, 分解表の列パターンに対応する.

関数分解では, $f(X_1, X_2) = g(h(X_1), X_2)$ と表現する. $\lceil \log_2 \mu \rceil < |X_1|$ が成立する時, X_1 を入力とし列関数の符号を生成する $h(X_1)$ の回路と, $g(h(X_1), X_2)$ の回路を個別に実現することによって, 関数 f を実現する. 関数分解は分解後の関数 g の入力数が少ない程効果的である. BDD の幅を削減できれば列複雑度が減り, 関数分解の効果が上がる.

[定義 8] 二つの不完全定義関数 f_a と f_b にドント・ケア割り当てを行うことで, 同じ関数にできる場合, f_a と f_b は両立するといいい, $f_a \sim f_b$ と表す.

表 3 列複雑度の削減

| | | $X_1 = \{x_1, x_2\}$ | | | |
|----------------------|----|----------------------|------------|------------|------------|
| | | 00 | 01 | 10 | 11 |
| $X_2 = \{x_3, x_4\}$ | 00 | 0 | 0 | 1 | 1 |
| | 01 | 1 | 1 | d | d |
| | 10 | 1 | 1 | 0 | 0 |
| | 11 | 0 | 0 | 0 | 0 |
| | | Φ_1^* | Φ_2^* | Φ_3^* | Φ_4^* |

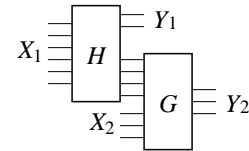


図 3 多出力関数の分解

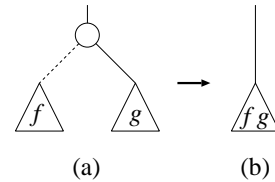


図 4 文献[12]の簡単化法

[補題 1] 二つの不完全定義関数の特性関数を χ_a, χ_b とする. $\chi_a \sim \chi_b$ かつ $\chi_c = \chi_a \chi_b$ のとき, $\chi_c \sim \chi_a$ かつ $\chi_c \sim \chi_b$ が成立する.

[例 4] 表 2 の分解表で, 列関数の対 $\{\Phi_1, \Phi_2\}$, $\{\Phi_1, \Phi_3\}$, $\{\Phi_3, \Phi_4\}$ は両立する. 列 Φ_1 と Φ_2 の論理積をとり, Φ_1^* と Φ_2^* と置き換え, 列 Φ_3 と Φ_4 の論理積をとり, Φ_3^* と Φ_4^* と置き換えると表 3 の様になり, $\mu = 2$ となる. (例終り)

[定理 1] X_1, X_2 を入力変数の集合, Y_1, Y_2 を出力変数の集合とする. 不完全定義関数を表現する BDD_for_CF の変数順序を (X_1, Y_1, X_2, Y_2) とするとき, BDD_for_CF の (X_1, Y_1) における幅を μ とする. ここで, μ を数える際, 出力を表現する変数から定数 0 に向かう枝は無視する. 多出力関数を図 3 の回路で実現する場合, 二つの回路 H と G の間の接続線は $\lceil \log_2 \mu \rceil$ あれば十分である.

3.2 BDD_for_CF の幅を削減するアルゴリズム

不完全定義関数を表現する BDD の節点数削減法として種々の方法が知られている [3], [6], [11] ~ [13]. 文献 [12] の方法では, 一つの節点に着目し, その節点の二つの子が両立する場合, 二つの子を併合して一つにすることを繰り返し, 節点数を削減する. 例えば, 図 4(a) に示す節点の子 f, g が両立する時, 図 4(b) のように, 節点を置き換えることで簡単化を行う.

今回の実験に用いたアルゴリズムを以下に示す.

[アルゴリズム 1] [12]

BDD の根から再帰的に以下の処理を行う.

- (1) 節点 v がドント・ケアを含まなければ終了.
- (2) v の二つの子 v_0, v_1 が両立するか調べる.
 - 両立しなければ, v_0, v_1 に対して再帰する.
 - 両立すれば, $v_{new} \leftarrow v_0 \cdot v_1$ とし, v_0, v_1 と置き換える. v_{new} に対して再帰する.

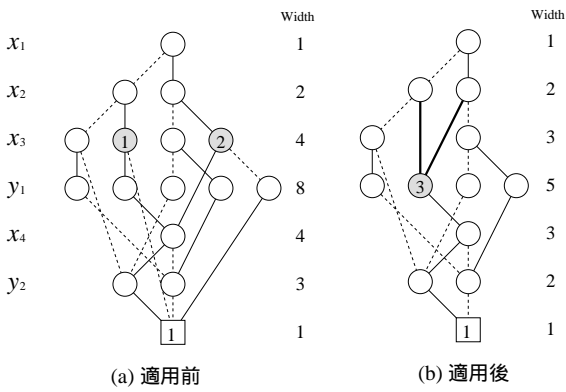


図5 アルゴリズム1を適用した BDD_for_CF

[例5] 図2の BDD_for_CF にアルゴリズム1を適用した結果を図5に示す。図5(a)がアルゴリズム適用前、図5(b)が適用後である。図5(a)の網掛の節点1,2が両立する二つの子を持っている。この関数では、節点1と置き換える節点と、節点2を置き換える節点と同じになるので、図5(b)では、節点1,2が節点3に置き換えられている。図の左にある Width は各高さでの幅である。最大幅は8から5に、非終端節点数は15から12に減っている。(例終り)

文献[12]の方法は、局所的な節点数の削減には効果があるが、一つの節点の子同士でしか両立性を考えないので、BDDの幅の削減には効果的ではない。そこで、本研究では、BDDの幅を構成する全ての部分関数の両立性を調べ、マッチングを行うことで、直接幅を削減する。

[定義9] 関数を節点とし、両立する関数同士を枝で接続したグラフを両立グラフという。

関数分解において、全ての列関数の両立性を調べ、両立グラフを作成し、最小数の完全部分グラフ(クリーク)による、節点被覆を行うことで、列複雑度 μ の最小化が可能である[13]。しかしながら、この問題はNP困難であることが知られている[5]。そこで、我々は発見的手法を用いる。

[アルゴリズム2] (クリーク集合による節点被覆)

与えられた両立グラフの全ての節点の集合を S_a とする。 C を節点集合の集合とする。枝を持たない節点を S_a から除去し、要素が1つの節点集合(クリーク)として C の要素とする。

$S_a \neq \phi$ の間以下の操作を繰り返す。

(1) S_a 中で枝数最小の節点を調べ、これを v_i とする。 $S_i \leftarrow \{v_i\}$ とする。 S_a 中で v_i に接続している節点の集合を S_b とする。

(2) $S_b \neq \phi$ の間以下の操作を間繰り返す。

(a) S_b の中で枝数最小の節点 v_j を調べ、 $S_i \leftarrow S_i \cup \{v_j\}$ とする。

(b) v_j に接続していない節点を S_b から除去する。

(3) $C \leftarrow C \cup \{S_i\}, S_a \leftarrow S_a - S_i$.

[アルゴリズム3] (BDD_for_CFの幅削減)

根節点の高さを t 、定数節点の高さを0とする。高さ $t-1$ から1までの間、以下の操作を繰り返す。

(1) 各高さにおける全ての列関数の集合を作る。

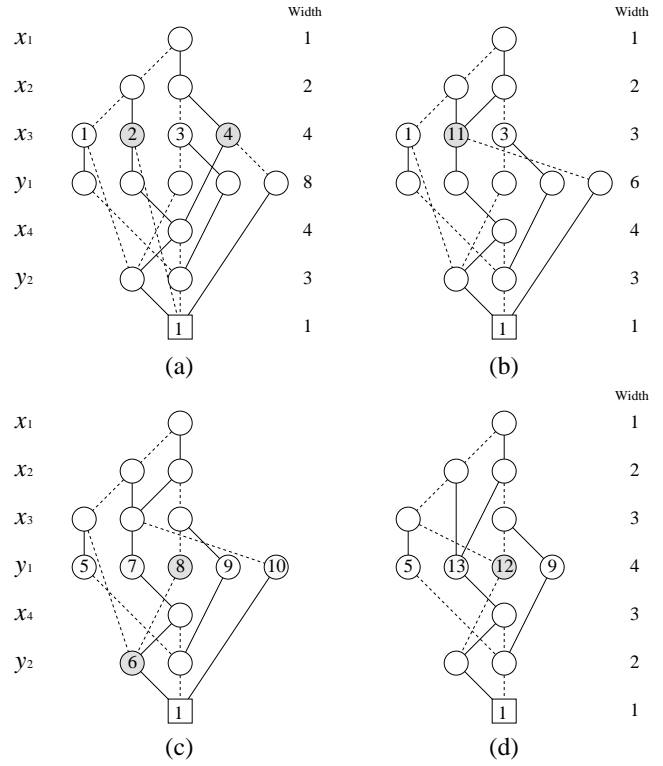


図6 アルゴリズム3を用いた BDD_for_CF の幅削減

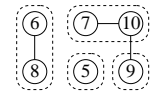


図7 両立グラフ

- (2) 列関数の集合から両立グラフを作成する。
- (3) クリーク集合による、節点被覆(アルゴリズム2)を行う。
- (4) 各クリークに被覆されている全ての節点に対応する関数にドント・ケアを割当て、一つの関数にする。
- (5) 各列関数を4.で作成した関数に置き換えて、BDDを再構成する。

[例6] 図2の BDD_for_CF にアルゴリズム3を適用した結果を図6に示す。変数 x_3 の高さで、図6(a)の網掛の節点2,4は両立するので、図6(b)で節点11に置き換えている。次に、変数 y_1 の高さでは、両立グラフは図7となり、図6(c)の節点6,8と節点7,10を、図6(d)で節点12,13に置き換えている。図6(a)と(d)では、最大幅は8から4に、非終端節点数は15から12に減っている。アルゴリズム1を適用した場合と比べて、最大幅がより減っていることが分かる。(例終り)

4. 実験結果

4.1 ベンチマーク関数

今までの多くの論文では、既存のベンチマーク関数に乱数を用いて生成したドント・ケアを加えて実験している。ここでは、アルゴリズム3の評価のために新たに生成した多出力回路について述べる。以下に示す関数を不完全定義関数を表現する BDD_for_CF で表現し、幅の削減を行う。

- 剰余数表現 (Residue Number System, RNS) [7] を2進表

現に変換する回路

(1) 5-7-11-13 RNS (14 入力 13 出力, DC 69.5%) [基数を (5,7,9,11) とした 4 桁の RNS 表現を 2 進表現に変換する回路]

(2) 7-11-13-17 RNS (16 入力 15 出力, DC 74.0%)

(3) 11-13-15-17RNS (17 入力 16 出力, DC 72.2%)

- i 桁の k 進数を 2 進数に変換する回路

(1) 4 桁 11 進 2 進変換 (16 入力 14 出力, DC 77.7%)

(2) 4 桁 13 進 2 進変換 (16 入力 15 出力, DC 56.4%)

(3) 5 桁 10 進 2 進変換 (20 入力 17 出力, DC 90.5%)

(4) 6 桁 5 進 2 進変換 (18 入力 14 出力, DC 94.0%)

(5) 6 桁 6 進 2 進変換 (18 入力 16 出力, DC 82.2%)

(6) 6 桁 7 進 2 進変換 (18 入力 17 出力, DC 55.1%)

(7) 10 桁 3 進 2 進変換 (20 入力 16 出力, DC 94.4%)

- i 桁の 10 進数の加算回路, 乗算回路

(1) 3 桁 10 進加算 (24 入力 16 出力, DC 94.0%)

(2) 4 桁 10 進加算 (32 入力 20 出力, DC 97.7%)

(3) 2 桁 10 進乗算 (16 入力 16 出力, DC 84.7%)

4.2 BDD の幅削減

4.1 で述べた不完全定義関数に対して, アルゴリズム 1 及びアルゴリズム 3 を適用して, BDD_for_CF の幅の削減を行った.

多出力関数の全ての出力を 1 つの BDD_for_CF で表現した場合, アルゴリズム 1 を用いた場合, アルゴリズム 3 の方法を用いた場合共に, 全てのドント・ケアに定数を割り当てた場合と比べて, ほとんど差がなかった. アルゴリズム 1 を用いた場合は節点数が 8.5%程度, アルゴリズム 3 を用いた場合は幅の合計が 2.4%程度しか削減できなかった.

次に BDD_for_CF を構成する前に, 各出力関数に対して, ドント・ケアの割当を工夫してサポート変数の数を削減した. BDD_for_CF の最大幅, 幅の合計, 節点数に関して, ドント・ケアに定数を割り当てた場合に比べ, 不完全定義関数 (3 値関数) を表現する BDD_for_CF では, 平均 55~57%, アルゴリズム 1 を適用した場合は平均 55~60%, アルゴリズム 3 を適用した場合は平均 56~57%削減できた. しかし, これらの BDD を一つの論理回路で実現するには, まだ幅が大き過ぎた.

多出力関数を単一の BDD_for_CF で表現した場合, 部分関数が両立するためには, 全ての出力値が両立する必要がある. 多出力関数をいくつかの出力集合に分割し, それぞれを BDD_for_CF で表現すれば, 部分関数が両立しやすくなり, 幅を削減できる可能性が上がる.

多出力関数の出力を二つに分割し, 各々を BDD_for_CF で表現して, 幅の削減を行った結果を表 4-6 に示す. 表中の $DC = 0$ は全てのドント・ケアに 0 を割り当てた場合, $DC = 1$ は全てのドント・ケアに 1 を割り当てた場合, ISF は不完全定義関数 (3 値関数) を表現する場合, Alg1 はアルゴリズム 1 を適用した場合, Alg3 はアルゴリズム 3 を適用した場合である. 表 4 は BDD_for_CF の最大幅, 表 5 は BDD_for_CF の幅の合計, 表 6 は BDD_for_CF の節点数を示している. 削減率は $DC = 0$ を 1.000 として正規化した平均値である. 今回用いた分割法は, 多出力関数 $F = (f_1, \dots, f_m)$ を $F_1 = (f_1, \dots, f_{\lfloor m/2 \rfloor})$, $F_2 = (f_{\lfloor m/2 \rfloor + 1}, \dots, f_m)$ と単純に二分割した.

表 4 二分割した場合の BDD_for_CF の最大幅

| Name | DC=0 | DC=1 | ISF | Alg1 | Alg3 |
|----------------|--------------|--------------|--------------|--------------|--------------|
| 5-7-11-13RNS | 503 461 | 503 461 | 503 461 | 502 460 | 416 363 |
| 7-11-13-17RNS | 471 1089 | 471 1089 | 471 1089 | 470 1088 | 337 896 |
| 11-13-15-17RNS | 1574 2253 | 1574 2253 | 1574 2254 | 1573 2253 | 1573 1229 |
| 4 桁 11 進 2 進変換 | 117 257 | 117 257 | 129 264 | 123 264 | 117 128 |
| 4 桁 13 進 2 進変換 | 226 257 | 226 257 | 236 264 | 232 264 | 225 128 |
| 5 桁 10 進 2 進変換 | 393 257 | 393 257 | 393 78 | 392 76 | 391 64 |
| 6 桁 5 進 2 進変換 | 134 257 | 134 257 | 155 260 | 148 260 | 139 128 |
| 6 桁 6 進 2 進変換 | 185 257 | 185 257 | 189 89 | 188 64 | 184 32 |
| 6 桁 7 進 2 進変換 | 464 513 | 464 513 | 485 516 | 482 516 | 472 256 |
| 10 桁 3 進 2 進変換 | 265 513 | 265 513 | 305 514 | 304 514 | 294 256 |
| 3 桁 10 進加算 | 29 200 | 25 101 | 15 14 | 14 13 | 10 10 |
| 4 桁 10 進加算 | 85 1400 | 73 649 | 15 14 | 14 13 | 10 10 |
| 2 桁 10 進乗算 | 945 767 | 946 769 | 955 327 | 954 269 | 945 224 |
| 削減率 | 1.000 | 0.950 | 0.825 | 0.811 | 0.636 |

表 5 二分割した場合の BDD_for_CF の幅の合計

| Name | DC=0 | DC=1 | ISF | Alg1 | Alg3 |
|----------------|---------------|---------------|---------------|---------------|--------------|
| 5-7-11-13RNS | 2306 2036 | 2319 2036 | 2319 2048 | 2302 2032 | 1979 1743 |
| 7-11-13-17RNS | 3064 4966 | 3075 4966 | 3076 4980 | 3054 4960 | 2392 4250 |
| 11-13-15-17RNS | 7718 10495 | 7737 10495 | 7738 10510 | 7715 10488 | 6167 7600 |
| 4 桁 11 進 2 進変換 | 1280 2170 | 1285 2170 | 1322 2278 | 1284 2277 | 1245 1414 |
| 4 桁 13 進 2 進変換 | 2340 2242 | 2346 2242 | 2435 1989 | 2394 1989 | 2336 1179 |
| 5 桁 10 進 2 進変換 | 3278 2339 | 3285 2339 | 3287 623 | 3261 589 | 3252 444 |
| 6 桁 5 進 2 進変換 | 1457 1889 | 1460 1889 | 1504 1838 | 1429 1819 | 1408 1224 |
| 6 桁 6 進 2 進変換 | 1324 1863 | 1331 1863 | 1407 474 | 1374 386 | 1328 308 |
| 6 桁 7 進 2 進変換 | 5252 4762 | 5258 4762 | 4995 4554 | 4950 4554 | 4844 2920 |
| 10 桁 3 進 2 進変換 | 3007 4691 | 3013 4691 | 3114 4466 | 3089 4465 | 3003 3292 |
| 3 桁 10 進加算 | 229 2056 | 261 1244 | 171 143 | 138 124 | 125 107 |
| 4 桁 10 進加算 | 561 12071 | 607 7259 | 232 208 | 189 178 | 172 163 |
| 2 桁 10 進乗算 | 3218 3130 | 3228 3143 | 3305 2137 | 3267 1957 | 3199 1714 |
| 削減率 | 1.000 | 0.979 | 0.830 | 0.805 | 0.680 |

二分割を行うことによって, 全ての関数で BDD を大きく削減できた. 関数によっては, BDD の幅の最大値が 2000 分の 1 以下, 総節点数が 70 分の 1 以下になったものもある. 二分割を行うことによって, 現実的な大きさの論理回路で実現できるようになった.

全体として, アルゴリズム 1 を用いた場合は, アルゴリズム 3 を用いた場合よりも節点数の削減に効果がある. しかし, 幅の削

表 6 二分割した場合の BDD_for_CF の節点数

| Name | DC=0 | DC=1 | ISF | Alg1 | Alg3 |
|----------------|---------------|---------------|---------------|--------------|--------------|
| 5-7-11-13RNS | 2297 2027 | 2310 2027 | 2303 2033 | 2039 1784 | 1980 1744 |
| 7-11-13-17RNS | 3051 4954 | 3062 4954 | 3055 4961 | 2664 4496 | 2393 4251 |
| 11-13-15-17RNS | 7704 10482 | 7723 10482 | 7716 10489 | 7039 8948 | 6168 7601 |
| 4桁 11進 2進変換 | 1252 2157 | 1257 2157 | 1270 2231 | 1133 2100 | 1231 1414 |
| 4桁 13進 2進変換 | 2325 2231 | 2331 2231 | 2410 1974 | 2225 1942 | 2337 1180 |
| 5桁 10進 2進変換 | 3260 2322 | 3267 2322 | 3260 593 | 2794 527 | 3251 439 |
| 6桁 5進 2進変換 | 1442 1875 | 1445 1875 | 1459 1816 | 1150 1718 | 1396 1218 |
| 6桁 6進 2進変換 | 1310 1849 | 1317 1849 | 1367 445 | 1185 299 | 1328 307 |
| 6桁 7進 2進変換 | 5243 4748 | 5249 4748 | 4944 4534 | 4625 4406 | 4845 2921 |
| 10桁 3進 2進変換 | 2991 4674 | 2997 4674 | 3073 4444 | 2510 3150 | 2994 3289 |
| 3桁 10進加算 | 197 1643 | 226 1045 | 134 125 | 100 95 | 109 108 |
| 4桁 10進加算 | 517 10051 | 560 6098 | 181 177 | 135 136 | 152 160 |
| 2桁 10進乗算 | 3020 3063 | 3027 3073 | 3072 2024 | 2743 1635 | 3007 1616 |
| 削減率 | 1.000 | 0.981 | 0.815 | 0.711 | 0.682 |

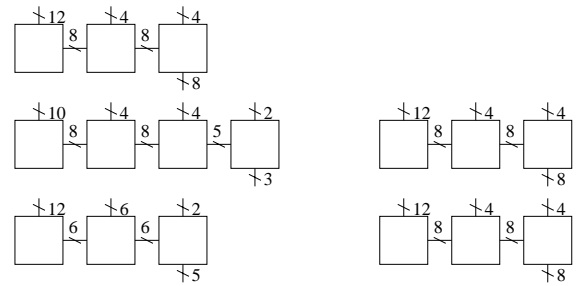
減に関してはアルゴリズム 3 ほどの効果はなかった。アルゴリズム 1 では両立するかどうかを調べる対象が、一つの節点の子同士に限られるため、節点数の局所的な削減には効果があるが、幅の大域的な削減には効果が出にくい。ただし、探索範囲が狭いため、非常に高速である。アルゴリズム 3 では、幅全体の両立性を調べるため、幅削減の効果は高い。しかし、幅を w とすると、 $\frac{w^2 - w}{2}$ の両立性を調べる必要があるため、アルゴリズム 1 よりも計算時間が長くなる。

4.3 LUT カスケードの合成

実際の応用では、BDD の幅が 2^k より少し大きい場合に、ドント・ケア割当を工夫することにより、図 3 の二つのブロック H と G の間の配線を削減できる。この効果を調べるために、LUT カスケード合成システム [9] にアルゴリズム 3 を組み込み、10 桁 3 進数を 2 進数に変換する回路を合成した。セルの入力数の最大を 12、出力数の最大を 8 として合成を行なった。図 8 に合成した回路を示す。図 8(a) は、全てのドント・ケアに 0 を割り当てた場合、図 8(b) は、アルゴリズム 3 を適用した場合である。アルゴリズム 3 により、セルの出力数の総和は 65 から 48 に、総段数は 10 から 6 に削減できた。次に、4 桁 10 進数加算回路の LUT カスケードをセルの入力数の最大を 9、出力数の最大を 8 として合成した。アルゴリズム 3 により、セルの出力数の総和は 95 から 20 に、総段数は 20 から 4 に削減できた。

5. あとがき

本論文では、BDD_for_CF を用いて不完全定義多出力関数を表現する方法と、その幅を削減する方法について述べた。また、この手法を剰余数変換回路、基数変換回路、および 10 進の加算回路と乗算回路に適用した。多出力関数の全ての出力を単一の



(a) 全てのドント・ケアに 0 を割り当てた場合 (b) アルゴリズム 3 を適用した回路

図 8 10 桁の 3 進数を 2 進数に変換する LUT カスケード

BDD_for_CF で表現した場合には、ドント・ケアを用いても幅を削減できなかったが、出力を二分割し、2 個の BDD_for_CF で表現すると、各々の BDD の幅を削減できた。本手法は LUT カスケードの合成に有効である。

謝 辞

本研究は、一部、科学研究費補助金、および、北九州地域知的クラスター創成事業の補助金による。

文 献

- [1] R. L. Ashenurst, "The decomposition of switching functions," *In Proceedings of an International Symposium on the Theory of Switching*, pp. 74-116, April 1957.
- [2] P. Ashar and S. Malik, "Fast functional simulation using branching programs," *Inter. Conf. on CAD*, pp. 408-412, Nov. 1995.
- [3] S. Chang, D. Cheng, and M. Marek-Sadowska, "Minimizing ROBDD size of incompletely specified multiple output functions," *In European Design & Test Conf.*, pp. 620-624, 1994.
- [4] K. Cho and R. E. Bryant, "Test pattern generation for sequential MOS circuits by symbolic fault simulation," *Proc. 26th Design Automation Conf.*, pp. 418-423, June 1989.
- [5] M. R. Garey and D. S. Johnson, *Computers and Intractability*, Freeman, San Francisco, 1979.
- [6] Y. Hong, P. Beerel, J. Burch, and K. McMillan, "Safe BDD minimization using don't cares," *Proc. Design Automation Conference*, pp. 208-213, 1997.
- [7] I. Koren, *Computer Arithmetic Algorithms (2nd Edition)*, A. K. Peters, Natick, MA, 2002.
- [8] S. Minato, N. Ishiura, and S. Yajima, "Shared binary decision diagram with attributed edges for efficient Boolean function manipulation," *27th Design Automation Conf.*, pp. 52-57, June 1990.
- [9] T. Sasao and M. Matsuura, "A method to decompose multiple-output logic functions," *41st Design Automation Conference*, pp. 428-433, San Diego, USA, June 2-6, 2004.
- [10] M. Sauerhoff and I. Wegener, "On the complexity of minimizing the OBDD size for incompletely specified functions," *IEEE Transactions on Computer-Aided Design of Integrated Circuits and Systems*, Vol. 15, No. 11, pp. 1435-1437, 1996.
- [11] C. Scholl, S. Melchior, G. Hotz, and P. Molitor, "Minimizing ROBDD sizes of incompletely specified functions by exploiting strong symmetries," *European Design & Test Conf.*, pp. 229-234, 1997.
- [12] T. R. Shiple, R. Hojati, A. L. Sangiovanni-Vincentelli, and R. K. Brayton, "Heuristic minimization of BDDs using don't cares," *Design Automation Conference 1994*, pp. 225-231, 1994.
- [13] W. Wan and M. A. Perkowski, "A new approach to the decomposition of incompletely specified functions based on graph-coloring and local transformations and its application to FPGA mapping," *Proc. of the IEEE EURO-DAC'92*, pp. 230-235, Hamburg, Sept. 7-10, 1992.